

## 漂砂の移動機構に関する一考察

京都大学防災研究所 正員 ○野田 英明  
運輸省第四港湾建設局 川嶋 康宏  
電源開発株式会社 高山 良雄

1. まえがき 近年 tracer物質を利用して漂砂の移動量や移動方向を推定しようとする研究が盛んにすすめられてはいる。波の作用によって底質が移動する場合、これに影響を及ぼす要素は、水粒子の往復運動と二次的な負荷輸送であると考えられる。漂砂の研究に対し tracer物質を利用する場合、これらによる底質の移動機構を十分に把握しておくことが必要である。前報においては、後者の影響が顕著であることを強調したが、漂砂の移動機構を充実するためには前者の効果をも十分に吟味しておかねばならない。著者らはこうした観点から今回固定砂面からなる水平床上に tracer物質を投入し、重複波の作用によってこれらが移動していく過程を実験的に調べて漂砂の移動機構を検討したりで、ここに報告する。

2. 実験装置と方法 実験は長さ3m、幅0.3mおよび高さ1mの鋼製片面ガラス張水槽を用いて行った。水槽の一端は鉛直壁とし、これより2.5mの位置にフラット式造波機を設置した。水槽底面はアクリル樹脂板を用いて水平にし、これに粒径ほぼ1mmの木津川産の砂を一様にスライス付けて固定粗面とした。水槽底面の任意の場所に100粒のtracer物質を瞬間投入し、その後重複波の作用によって、それらがどのように移動するかを觀察するために、任意の単位区間(2.5cm)に存在するtracer粒子を写真に撮影して、その個数を数える方法をとった。tracerとして用いた物質は粒径ほぼ1mmの塩化ビニール粒子、石炭粒子、人工軽量骨材および天然砂であり、これら物質の諸特性は表-1に示す。実験は水深を40cmと一定にし、波の周期Tおよび波長Lをそれぞれ1.45sec, 250cmと固定して、波高Hを10, 14および17cmと変えて行った。図-1は実験に用いた重複波の諸特性を示すもので、いま鉛直壁から水槽の長さ方向へ距離xをとると、ハーフの波高に対するても、重複波の腹の位置はx=0と125cm、節のそれは62.5cmとなり、さらに、 $125 > x > 62.5$  cmと $62.5 > x > 0$  の範囲において、質量輸送の方向が異なることを示している。

3. 実験結果と考察 図-2はtracerとして塩ビ粒子を用いた実験結果の一例であつて、波高が10および14cmの場合を示してある。これらの図はtracer投入後1~10分における粒子数の場所的分布をヒストグラムを用いて示したもので、縦軸の値は任意の単位区间内に存在するtracer粒子の個数Cと投入全個数C<sub>0</sub>の比である。図から明らかなように、時間の経過とともに粒子は投入個所から両側に拡っていくが、その分布の時間的

表-1. tracer物質の諸特性

	比重	$\tan \phi$
塩化ビニール粒子	1.27	0.89
石炭粒子	1.40	1.08
人工軽量骨材	1.84	1.16
天然砂	2.64	1.29

( $\phi$ : 水中の静止摩擦角)

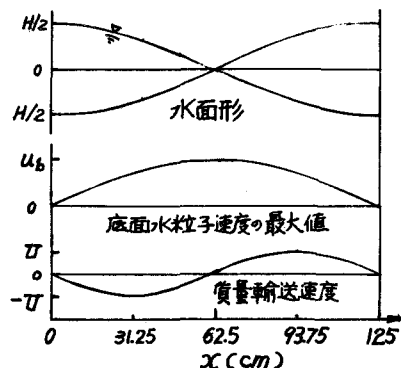


図-1. 重複波諸特性の概要

変化にはつきのような傾向がある。すなはち、1) 1) グレの波高の場合にも、粒子は全体として、重複波の腹の方向に移動してくるが、投入後数分ごと、 $x > 100 \text{ cm}$  の領域における粒子数はほぼ一定にあり、その後変化しない。これは移動限界以下となり運動を停止したためと考えられる。2) 波高が増大すると、節の方向への移動量が増し、かつその移動範囲も広くなり、短時間で広範囲に分散する。このような傾向は石炭粒子の場合にもみられるが、塩ビ粒子に比べて比重が大きいため、塩ビ粒子に比して移動的・時間的変化は少ない。さらに軽量骨材、天然砂は実験の範囲では移動しなかった。以上の結果を要約すると移動の主方向は質量輸送の方向と一致するが、それと逆方向に輸送される粒子も存在する。こうした粒子の個数、輸送される距離は波高の増大とともに増加し、比重、增加とともに減少する。このことから重複波のようなく流れが周期運動をする場合、流体は底質を拡散させる性質と一方向に輸送する性質をもつことがわかる。図-3は特定の場所における塩ビ粒子個数の時間的変化を示すものであり、図

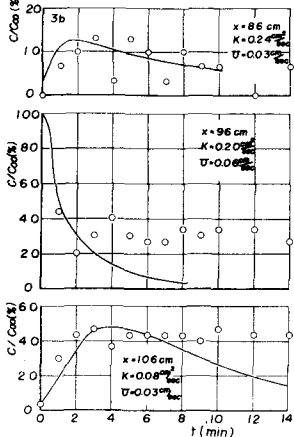


図-3 粒子個数の時間的変化

4および図-5はそれぞれ塩ビ粒子および石炭粒子の投入点附近における個数の時間的変化を波高別に示したものである。図中の実線は粒子の拡散係数  $K$  および移動速度  $D$  を一定として求めた理論結果に対し、実験値に最もよく適合する  $K$  および  $D$  の値を用いた理論曲線である。こなについでは講演時に述べる。これらの図から明らかのように、 $K$  の値は波高の増大とともに大きくなる、節の位置に近づくほど大きい。しかし底質の比重が増すと減少することができる。一方、 $D$  の値は図-1に示す質量輸送速度の方向の変化の傾向と一致し、波高が増大すると増加し、比重が増大すると減少する傾向がある。このことから、拡散に対しては水粒子の往復運動が重要な役割を果していよう。

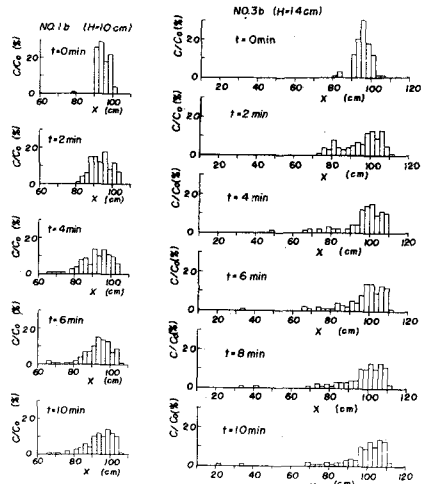


図-2 tracer粒子の移動過程  
H=10cm, K=0.024 cm²/sec, D=0.03 cm²/sec  
H=14cm, K=0.20 cm²/sec, D=0.03 cm²/sec

$H(\text{cm})$	$K(\text{cm}^2/\text{sec})$	$D(\text{cm}^2/\text{sec})$	$X(\text{cm})$	(cm)
10	0.04	0.03	96	—
14	0.20	0.06	96	96
17	0.40	0.08	91	93

$H(\text{cm})$	$K(\text{cm}^2/\text{sec})$	$(\text{cm}^2/\text{sec})$	$X(\text{cm})$	(cm)
10	0.01	0.01	96	96
14	0.10	0.01	96	955
17	0.25	0.02	91	905

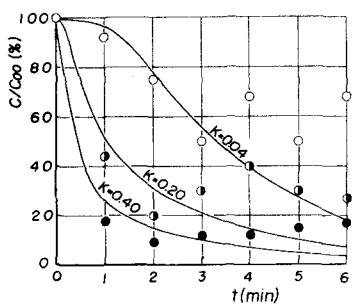


図-4 個数の時間的変化に及ぼす波高の効果

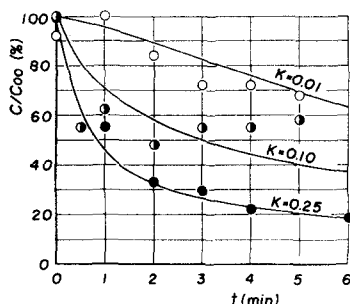


図-5 個数の時間的変化に及ぼす波高の効果